

特点

- 非绝缘，底板为公共电极
- 国际标准封装：全压接结构，优良的温度特性和功率循环能力
- 低正向压降

典型应用

- 电焊机电源
- 各种DC电源
- 变频器

| | |
|-------------|--|
| $I_{F(AV)}$ | 250A |
| V_{RRM} | 500-2500V |
| I_{FSM} | $9.8 \text{ A} \times 10^3$ |
| I^2t | $490 \text{ } 10^3 \text{a}^2\text{s}$ |

| 符号 | 参数 | 测试条件 | $T_J(\text{°C})$ | 参数值 | | | 单位 |
|---------------|-----------|---|------------------|-----|----|-------|-----------------------------|
| | | | | 最小 | 典型 | 最大 | |
| $I_{F(AV)}$ | 正向平均电流 | 180° 正弦半波, 50HZ 单面散热, $T_C=100\text{°C}$ | 150 | | | 250 | A |
| $I_{T(RMS)}$ | 方均根电流 | | 150 | | | 393 | A |
| V_{RRM} | 反向重复峰值电压 | $V_{RRM} tp=10\text{ms}$ $V_{RSM}=V_{DRM} \& V_{RRM+200V}$ | 150 | 500 | | 2500 | V |
| I_{RRM} | 反向重复峰值电流 | at V_{DRM} at V_{RRM} | 150 | | | 20 | mA |
| I_{FSM} | 通态不重复浪涌电流 | 10ms 底宽, 正弦半波 $V_R=0.6V_{RRM}$ | 150 | | | 9.80 | KA |
| I^2t | 浪涌电流平方时间积 | | | | | 490.0 | $A^{2S}*10^3$ |
| V_{FO} | 门槛电压 | | 150 | | | 0.80 | V |
| r_T | 斜率电阻 | | | | | 0.87 | $\text{m}\Omega$ |
| V_{FM} | 正向峰值电压 | $I_{TM}=785\text{A}$ | 25 | | | 1.20 | V |
| $R_{th(j-c)}$ | 热阻抗（结至壳） | 单面散热 | | | | 0.150 | $^{\circ}\text{C}/\text{W}$ |
| $R_{th(c-h)}$ | 热阻抗（壳至散） | 单面散热 | | | | 0.04 | $^{\circ}\text{C}/\text{W}$ |
| F_M | 安装扭矩 (M5) | | | | 12 | | N-m |
| | 安装扭矩 (M6) | | | | 6 | | N-m |
| T_{stq} | 储存温度 | | | -40 | | 125 | $^{\circ}\text{C}$ |
| W_t | 质量 | | | | | | g |
| Outline | 外形 | | | | | | |

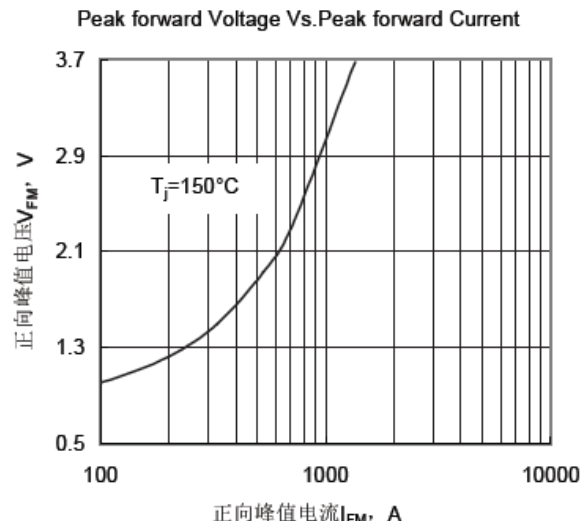


Fig.1 通态伏安特性曲线

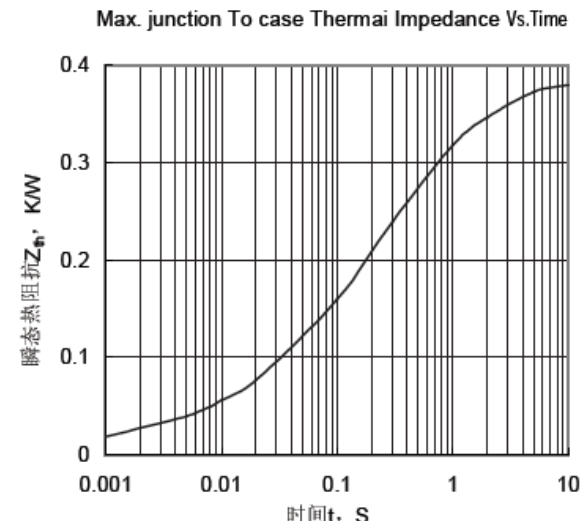


Fig.2 瞬态热阻抗曲线

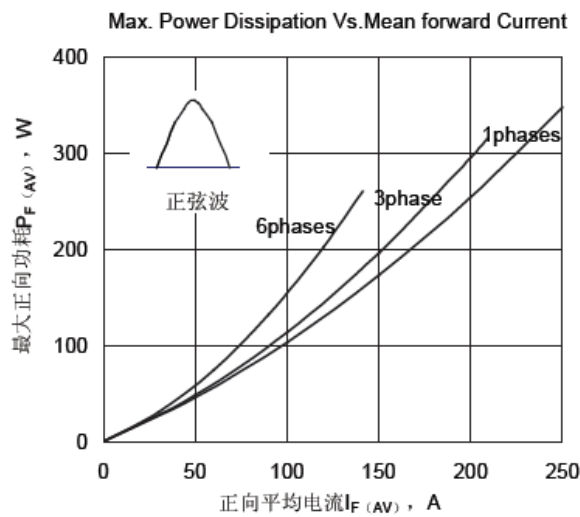


Fig.3 最大功耗与平均电流关系曲线

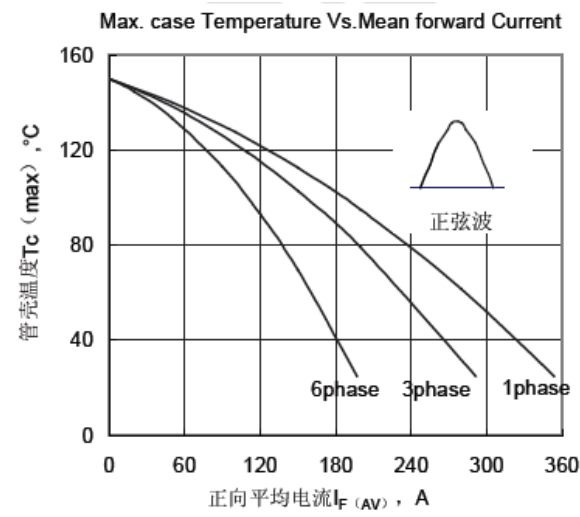


Fig.4 管壳温度与正向平均电流关系曲线

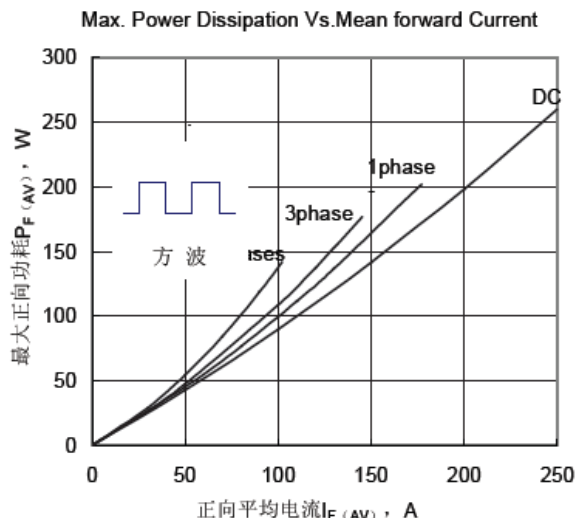


Fig.5 最大功耗与平均电流关系曲线

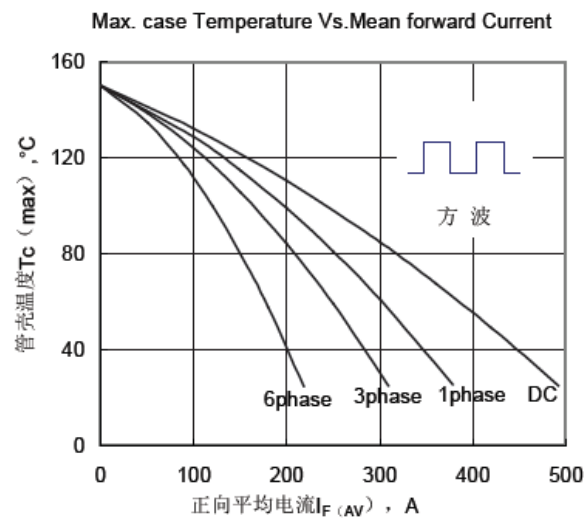


Fig.6 管壳温度与正向平均电流关系曲线

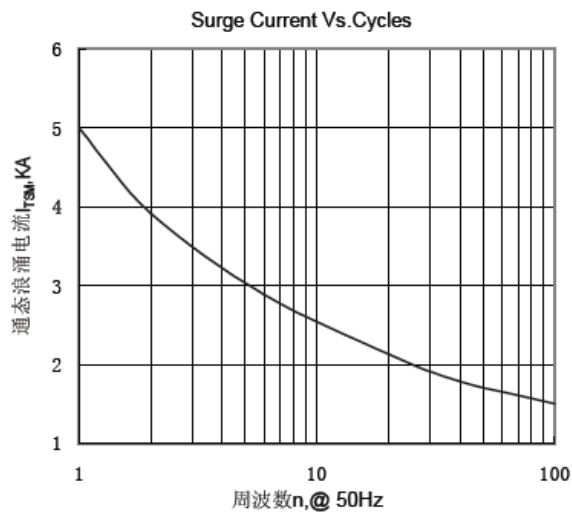


Fig.7 通态浪涌电流与周波数的关系曲线

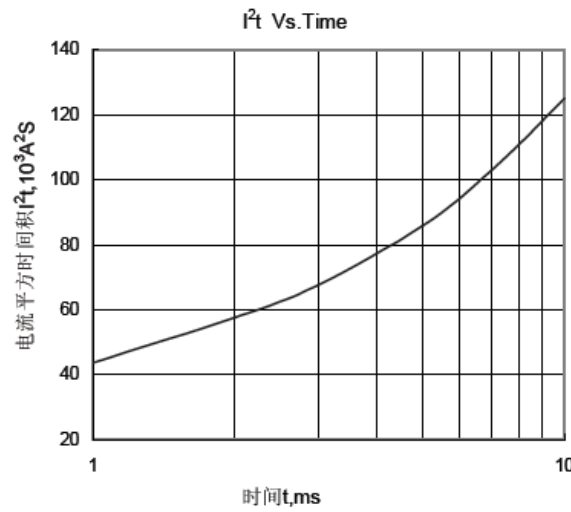


Fig.8 I²t 特性曲线

外形图：

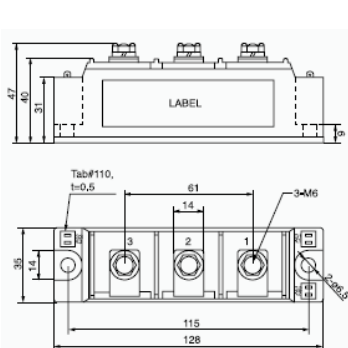


图 1

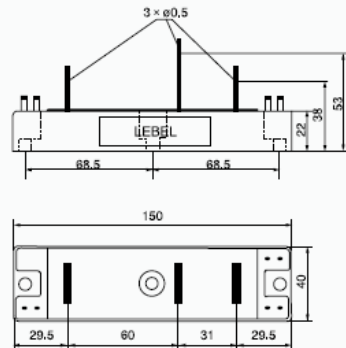


图 2

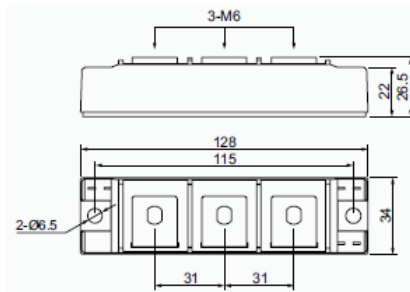


图 3

线路图：

